А. Н. Маслий, Ан. М. Кузнецов

КВАНТОВО-ХИМИЧЕСКОЕ ИССЛЕДОВАНИЕ РОЛИ ДИСПЕРСИОННЫХ ВЗАИМОДЕЙСТВИЙ В РАСЧЕТАХ АКТИВАЦИОННЫХ ПАРАМЕТРОВ НА ПРИМЕРЕ РЕАКЦИИ ДИЛЬСА-АЛЬДЕРА МЕЖДУ ЦИКЛОПЕНТАДИЕНОМ С₅Н₆ И ФУЛЛЕРЕНОМ С₆₀

Kлючевые слова: методы функционала плотности, фуллерен C_{60} , циклопентадиен, реакция Дильса-Aльдера, энергия активации.

В рамках теории функционала плотности с использованием различных квантово-химических программных пакетов, функционалов и атомных базисных наборов исследована роль дисперсионных взаимодействий на примере оценки энергии активации реакции Дильса-Альдера между молекулой циклопентадиена C_5H_6 и фуллереном C_{60} .

Key words: density functional methods, fullerene C_{60} , cyclopentadiene, Diels-Alder reaction, activation energy.

Within the density functional theory using a number of different quantum-chemical program packages, functionals and atomic basis sets the role of dispersion interactions on an example of activation energy evaluation of Diels-Alder reaction between cyclopentadiene C_5H_6 and fullerene C_{60} has been analysed.

Введение

Фуллерены и нанотрубки благодаря своим специфическим свойствам являются объектами пристального внимания исследователей. Ещё более повышает интерес к этим соединениям возможность модификации их поверхности, что позволяет в итоге получать материалы с заданными свойствами. Все эти соединения имеют большой потенциал для использования в различных областях химии таких, как катализ, нанотехнологии, защита окружающей среды, биохимия и медицина [1-3].

Важную роль в исследовании фуллеренов, нанотрубок и их функционализированных производных играют методы квантовой химии. С их помощью становится возможным детально исследовать механизмы реакций с их участием, устанавливать принципиальную возможность синтеза тех или иных функциональных производных и изучать их свойства.

Ранее в работе [4] на основе квантовохимических расчетов была изучена реакция Дильса-Альдера между фуллереном C_{60} и циклопентадиеном C_5H_6 и было показано, что эта реакция протекает по ребру C_6 - C_6 полиэдра C_{60} . Рассчитанные энергетические эффекты были сопоставлены с экспериментальными значениями, полученными из значений прямой и обратной энергии активации этого процесса, приведенных в [5,6].

В нашей предыдущей работе [7] при изучении этой же реакции была показана важность учёта дисперсионных взаимодействий при квантовохимическом исследовании для получения корректных структурных и энергетических характеристик соединений. В частности, были рассчитаны структуры предреакционного комплекса (состояние физической адсорбции) и аддукта (ковалентно связанное состояние) и термодинамические характеристики перехода между этими состояниями.

Приведенные ниже результаты являются продолжением работы [7], а именно, нами были проведены расчеты структуры переходного состояния и активационные параметры вышеописанной

реакции с использованием нескольких программных квантово-химических пакетов, различных версий функционала плотности и атомных базисов, без учета и с учетом межмолекулярных дисперсионных взаимодействий с целью выбора наиболее оптимальной квантово-химической комбинации метод/атомный базис. Этот выбор был сделан на основе сопоставления расчетных и экспериментальных термодинамических и кинетических параметров рассматриваемой реакции.

1. Методика исследования

В данной работе, как и в [7], для проведения квантово-химических расчётов использовались программные пакеты Priroda 11 [8], Orca 2.9 [9] и Gaussian09 [10]. В случае программных пакетов Priroda и Огса использовались дважды и трижды валентнорасщеплённые базисные наборы Алрича SVP и TZVP [11].

Расчёты в программных пакетах Priroda и Огса проводились в рамках GGA-функционала плотности версии PBE [12], а в программном пакете Gaussian расчёты были выполнены с использованием гибридного функционала второго поколения юВ97XD, включающего учёт дисперсионных взаимодействий [13]. В программном пакете Priroda возможность учёта дисперсионных взаимодействий пока не реализована, а поэтому при использовании этого пакета эти взаимодействия не учитывались. В программном пакете Огса учёт дисперсионных взаимодействий проводился в полуэмпирических моделях Гримме VDW06 [14] и VDW10 [15].

Поиск переходных состояний на первом этапе осуществлялся при помощи программного пакета Priroda. Для найденных структур проводился расчёт частот нормальных колебаний, а наличие в спектре одной отрицательной моды указывало на соответствие оптимизированной структуры седловой точке первого порядка. Для однозначной идентификации этой седловой точки как переходного состояния реакции проводились расчёты спусков из седловой точки к реагентам и продуктам реакции по процедуре IRC.

Найденные программным пакетом Priroda переходные состояния были использованы в программных пакетах Orca и Gaussian в качестве стартовых структур для поиска переходных состояний, которые также проверялись по описанной выше схеме.

2. Результаты и обсуждение

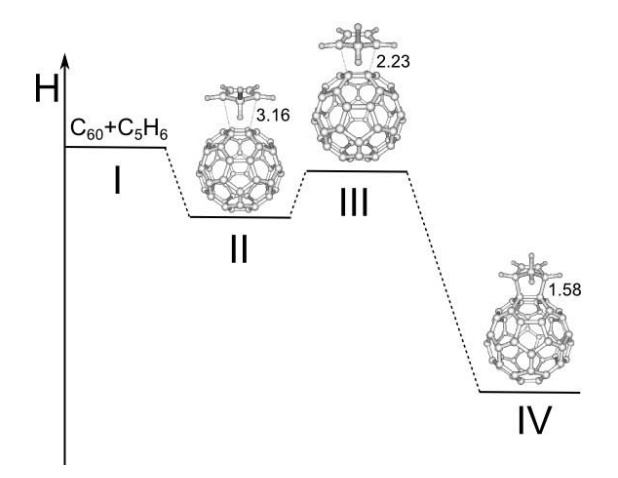


Рис. 1 — Энтальпийная диаграмма реакции Дильса-Альдера между C_5H_6 и C_{60} : исходное состояние — (I), предреакционный комплекс (состояние физической адсорбции) — (II), переходное состояние — (III), аддукт — (IV). Расстояния $R(C_f-C_{cp})$ в ангстремах приведены для расчетной комбинации Orca/PBE/SVP VDW06

Реакцию присоединения циклопентадиена C_5H_6 к фуллерену C_{60} можно описать качественной энтальпийной диаграммой, показанной на рисунке 1. Как видно из рисунка, в этой реакции из исходных реагентов (I) образуется предреакционный комплекс (II), представляющий собой состояние физической адсорбции C_5H_6 на поверхности C_{60} за счёт слабых дисперсионных взаимодействий. Затем в результате дальнейшего сближения частиц образуется переходное состояние (III), из которого система переходит в конечное состояние (IV) — аддукт циклопентадиен-фуллерен с образованием двух новых ковалентных связей C-C.

Геометрические характеристики состояний I, II и IV обсуждались ранее в [7], поэтому останавливаться на них подробно не будем. В таблице 1 приведены те же геометрические характеристики системы в переходном состоянии, которые были рассмотрены в таблицах 1 и 2 в [7] для состояний физической адсорбции и аддукта.

Как видно из таблицы 1, основные структурные характеристики самой молекулы циклопентадиена $R(CH-CH_2)$ и $\angle\alpha$ отличаются незначительно для всех использованных комбинаций программный пакет/функционал/базис. Длина ребра C_6 - C_6 в фуллереновом полиэдре также слабо изменяется в пределах 1.44-1.46 Å. Более заметную зависимость от метода расчета (от 2.2 до 2.3 Å) проявляет расстояние $R(C_f$ - C_{cp}) между ближайшими атомами углерода в циклопентадиене и фуллерене в структуре переходного состояния (рис. 1, III).

Таблица 1 - Геометрические параметры переходного состояния реакции Дильса-Альдера между C_5H_6 и C_{60} , рассчитанные с использованием различных программных пакетов и методов без учета и с учётом дисперсионных взаимодействий (длины связей в ангстремах, углы в градусах)

1 / 1 / 1 / 1 / 1 / 1 / 1 / 1 / 1 / 1 /							
Функционал/ базис	R(C ₆ -C ₆)*	$R(C_f - C_{cp})$	R(CH-CH ₂)	∠α			
Priroda							
PBE/SVP	1.456	2.215	1.506	17.12			
PBE/TZVP	1.456	2.215	1.506	17.12			
Orca							
PBE/SVP VDW06	1.453	2.273	1.506	15.31			
PBE/SVP VDW10	1.460	2.247	1.507	16.47			
PBE/TZVP VDW06	1.450	2.236	1.505	16.07			
PBE/TZVP VDW10	1,457	2,215	1,506	17,15			
Gaussian09							
ωB97XD/SVP	1.439	2.233	1.500	16.55			
ωB97XD/ TZVP	1.435	2.209	1.500	17.00			

 $\angle \alpha$ — двугранный угол CH2-CH-CH в молекуле циклопентадиена, R(C₁-C_{cp}) — наименьшее расстояние от атома углерода фуллерена до атома углерода циклопентадиена в переходном состоянии (как показано на рис. 1). R(C₆-C₆)* — длина ребра фуллерена непосредственно под циклопентадиеном.

Таким образом, геометрические параметры структуры переходного состояния исследуемой системы в целом слабо зависят от метода, базисного набора и учёта дисперсионных взаимодействий, что имело место и для структуры аддукта [7].

Одним из важных выводов, который был сделан нами на данном этапе, является явное указание на возможность получения структур переходных состояний с использованием высокоскоростного программного пакета Priroda для дальнейшего их использования в качестве стартовых при расчетах более ресурсоёмкими пакетами, методами и базисными наборами. При этом достигается существенный выигрыш во времени расчётов. Данное утверждение было проверено следующим образом: была построена предполагаемая структура переходного состояния и запущена на оптимизацию с использованием Priroda/PBE/SVP, Orca/PBE/SVP Gaussian09/ωB97XD/SVP. Программные пакеты Priroda и Orca получили структуру переходного состояния, в то время как Gaussian09 спустя несколько шагов оптимизации остановил расчёт из-за проблем со сходимостью процедуры SCF. После получения решения в программном пакете Priroda полученная структура переходного состояния была передана для решения в программный пакет Orca/PBE/SVP VDW (06 и 10) и в Gaussian/ωB97XD/SVP. В случае программного пакета Orca решение было получено за почти вдвое меньшее время по сравнению с первой задачей при том, что расчёты с использованием процедуры VDW значительно более сложные. В программном пакете Gaussian решение также было получено за несколько итераций оптимизации и без каких-либо проблем с процедурой SCF.

Таблица 2 - Рассчитанные энтальпии отдельных стадий и полной реакции Дильса-Альдера между C_5H_6 и C_{60} (ккал/моль) в соответствии с энтальпийной диаграммой, приведенной на рис. 1

Функционал/ базис	ΔH_{298} (I \rightarrow II)	ΔH_{298} (II \rightarrow III)	ΔH_{298} (III \rightarrow IV)	ΔH_{298} (I \rightarrow IV)			
Priroda							
PBE/SVP	-0,87	8,98	-22,53	-14,42			
PBE/TZVP	-0,51	12,59	-20,30	-8,22			
Orca							
PBE/SVP VDW06	-8,05	5,19	-23,08	-25,94			
PBE/SVP VDW10	-7,38	8,34	-22,03	-21,07			
PBE/TZVP VDW06	-8,82	5,45	-20,54	-23,91			
PBE/TZVP VDW10	-8,91	10,05	-20,61	-19,47			
Gaussian09							
ωB97XD/ SVP	-6,62	13,22	-35,54	-28,94			
ωB97XD/ TZVP	-10,97	15,79	-33,86	-29,04			

На следующем этапе были получены термодинамические параметры всех соединений и оценены энергии активации прямой и обратной реакции, протекающей по схеме (рис. 1).

$$C_{60} + C_5H_6 \rightarrow C_{60}...C_5H_6 \rightarrow C_{60}-C_5H_6 \rightarrow C_{60}-C_5H_6$$
 I II III IV Исходные Предреакци- Переходное Аддукт реагенты онный ком- состояние плекс, состояние физической адсорбции

Рис. 1

Поскольку экспериментальные данные имеются только для энергии активации прямой и обратной реакции между C_5H_6 и C_{60} , в таблице 2 мы приводим только рассчитанные энтальпии отдельных стадий, которые могут быть сопоставлены с экспериментальными энергиями активации.

Как и следовало ожидать, два первых расчетных уровня (Priroda/PBE/SVP и Priroda/PBE/TZVP), не учитывающих дисперсионное взаимодействие, дают значения $\Delta H_{298}(I \rightarrow II)$, существенно отличающиеся от полученных остальными методами, включающими учет дисперсионных взаимодействий. Действительно, переход $I \rightarrow II$ связан с образованием предреакционного комплекса вследствие физической адсорбции, которая, как известно, обусловлена главным образом дисперсионными взаимодействиями.

Как видно из таблицы 2, энергетические эффекты, полученные разными программными пакетами, разными методами и с использованием разных базисных наборов, существенно различаются. Для выбора наиболее подходящей для дальнейших исследований комбинации необходимо сопоставление с экспериментальными данными. Экспериментальные данные энтальпии активации прямой реакции между C_5H_6 и C_{60} приведены в [5], а обратной - в [6]. Из анализа данных работ следует, что авторы получили энтальпии (а не энергии) активации реакции. В работе [4] приведены энергии активации прямой и обратной реакций, полученные методами квантовой химии. К сожалению, в этой работе не указано, что именно авторы принимали за энергию активации – изменение полной энергии системы или же изменение энтальпии. В таблице 3 мы приводим рассчитанные значения энтальпии активации прямой и обратной реакций в сопоставлении с экспериментальными данными [5,6] и расчётными данными, полученными в [4].

Следует отметить, что в нашей расчетной схеме величина $\Delta H_{298}(II {\to} III)$ представляет собой энтальпию активации прямой реакции, а $\Delta H_{298}(III {\to} IV)$ с обратным знаком есть энтальпия активации обратной реакции.

Как видно из приведенных в таблице 3 результатов, во всех наших расчётах вне зависимости от программного пакета, версии функционала плотности и способа учёта дисперсионных взаимодействий лучшие результаты (с наименьшим отклонением от эксперимента) были получены с помощью базисного набора SVP.

Программный пакет Gaussian показал максимальные затраты компьютерного времени, делающих его практически неприемлемым для исследования подобных систем. При этом метод ω B97XD дал наибольшие отклонения от экспериментальных энтальпий активации, причем полученные значения переоценены как для прямой, так и обратной реакции. Однако этот функционал дает очень хороший результат для разности энтальпий активации прямой и обратной реакций, которую можно отождествить с энтальпийным эффектом $\Delta H_{298}(II \rightarrow IV)$.

Таблица 3 - Энтальпии активации (ккал/моль) прямой и обратной реакции Дильса-Алдера между C_5H_6 и C_{60}

Функционал/базис	ΔH_{298}^{\neq} (II \rightarrow III)	ΔH_{298}^{\neq} (IV \rightarrow III)	ΔH_{298} (II \rightarrow IV)			
Priroda						
PBE/SVP	8,9	22,5	-13,6			
PBE/TZVP	12,6	20,3	-7,7			
Orca						
PBE/SVP VDW06	5,2	23,1	-17,9			
PBE/SVP VDW10	8,3	22,0	-13,7			
PBE/TZVP VDW06	5,4	20,5	-15,1			
PBE/TZVP VDW10	10,0	20,6	-10,6			
Gaussian09						
ωB97XD/SVP	13,2	35,5	-22,3			
ωB97XD/TZVP	15,8	33,9	-18,1			
Литературные данные						
BP86-D3/TZ2P+ [4]	5,2	21,5	-16,3			
Эксперимент [5,6]	6,9	26,7±2,2	-19,8±2,2			

Программный пакет Priroda, несмотря на наименьшие затраты компьютерного времени, даёт слишком большую погрешность вследствие неучёта эффектов дисперсионных взаимодействий. Следует обратить внимание на то, что в рамках этого приближения значение $\Delta H_{298}^{\ \pm}(II \rightarrow III)$ переоценивается, а $\Delta H_{298}^{\ \pm}(IV \rightarrow III)$ недооценивается, вследствие чего их разность $\Delta H_{298}(II \rightarrow IV)$ значительно отличается от экспериментального значения -19,8±2,2 ккал/моль.

В рамках программного пакета Огса использовались две модели учёта дисперсионных взаимодействий: VDW06 и VDW10. Как видно из таблицы 3, расчёты в рамках модели VDW06 несколько недооценивают величину $\Delta H_{298}^{\neq}(II \rightarrow III)$, а в рамках модели VDW10 - переоценивают, в то время как $\Delta H_{298}^{\neq}(IV \rightarrow III)$ недооценивается в рамках обеих молелей. Что же касается абсолютных значений, то по всем параметрам наиболее близкие к экспериментальным значениям получаются на уровне Orca/PBE/SVP VDW06. При этом рассчитанное значение ΔH_{298}^{\neq} (II→III) 5,2 ккал/моль совпадает, повидимому, случайно с таковым, полученным в [4] с использованием расчетного уровня BP86-D3/TZ2P+, в то время как для $\Delta H_{298}^{\neq}(IV \rightarrow III)$ и $\Delta H_{298}(II \rightarrow IV)$ наши расчеты (в таблице 3 выделены жирным шрифтом) более близки к диапазону экспериментальных значений.

Заключение

В рамках данной работы показано, что учёт межмолекулярных дисперсионных взаимодействий играет важную роль при исследовании реакций, в которых возможно образование дальнодействующих типов связи. Это влияние распространяется как на структурные, так и энергетические характеристики исследуемых систем. При том, что учёт дисперсионных взаимодействий практически не влияет на структуры систем только с ковалентными связями, он всё же оказывает значительное влияние на энергетику реакций. На примере реакции Дильса-Альдера между циклопентадиеном С₅Н₆ и фуллереном C_{60} показано, что наилучшие результаты получаются при использовании GGA-функционала версии РВЕ с относительно небольшим валентнорасщеплённым базисным набором SVP и с учетом дисперсионных взаимодействий в рамках модели VDW06.

Полученные в ходе расчётов данные о затратах компьютерного времени при использовании различных комбинаций квантово-химических программных пакетов, функционалов и атомных базисов в целом согласуются с результатами, полученными в работе [16]. Рекомендованная расчетная методика будет использована в наших последующих исследованиях различных функционализированных производных фуллеренов и нанотрубок.

Литература

- 1. D.M. Guldi, N. Martin, Fullerens: From Synthesis to Optoelectronic Properties // Kluver, Dordrecht.
- F. Langa, J.-F. Nierengarten, Fullerens. Principles and Application. // RSC, Cambridge 2011.
- 3. A. Hirsh, M. Bettreich, Fullerens, Chemistry and Reaction // Wiley-VCH, Weinheim 2005.
- 4. I. Fernandez, M. Sola, F.M. Bikelhaupt, *Chem. Eur. J.*, -2013,-V.19, 23, -P. 7416–7422.
- L.M. Giovane, J.W. Barco, T. Yadav, A.L. Lafleur, J.A. Marr, J.B. Howard, V.M. Rotello, *J. Phys. Chem.*, 1993, -V. 97, -P. 8560-8561
- L.S.K. Pang, M.A. Wilson, J. Phys. Chem. -1993, -V. 97, -P. 6761-6763.
- 7. А.Н. Маслий, А.М. Кузнецов, *Вестник Казан-ского технологического университета*. -2013, Т. 16. № 8, С. 29-33.
- 8. D.N. Laikov, Chem. Phys. Lett., -1997, -V 281, -P.151-156.
- Orca. An ab initio, DFT and semiempirical SCF-MO package, 2012.
- Gaussian 09, Revision B.01, M.J. Frisch, G.W. Trucks, H.B. Schlegel, G.E. Scuseria, M.A. Robb, J.R. Cheeseman, G. Scalmani, V. Barone, B. Mennucci, G.A. Petersson, H. Nakatsuji, M. Caricato, X.Li, H.P. Hratchian, A.F. Izmaylov, J. Bloino, G. Zheng, J.L. Sonnenberg, M. Hada, M. Ehara, K. Toyota, R. Fukuda, J. Hasegawa, M. Ishida, T. Nakajima, Y. Honda, O. Kitao, H. Nakai, T. Vreven, J.A. Montgomery, Jr., J.E. Peralta, F. Ogliaro, M. Bearpark, J.J. Heyd, E. Brothers, K.N. Kudin, V.N. Staroverov, T. Keith, R. Kobayashi, J. Normand, K. Raghavachari, A. Rendell, J.C. Burant, S.S. Iyengar, J. Tomasi, M. Cossi, N. Rega, J.M. Millam, M. Klene, J.E. Knox, J.B. Cross, V. Bakken, C. Adamo, J. Jaramillo, R. Gomperts, R.E. Stratmann, O. Yazyev, A.J. Austin, R. Cammi, C. Pomelli, J.W. Ochterski,

- R.L. Martin, K. Morokuma, V.G. Zakrzewski, G.A. Voth, P. Salvador, J.J. Dannenberg, S. Dapprich, A.D. Daniels, O. Farkas, J.B. Foresman, J.V. Ortiz, J. Cioslowski, D.J. Fox, *Gaussian, Inc.*, *Wallingford CT*, 2010.
- 11. A. Schafer, H. Horn, R. Ahlrichs, *J. Chem. Phys.*, -1992, V 97, -P. 2571-2577.
- 12. J.P. Perdew, K. Burke, M. Ernzerhof, *Phys. Rev. Lett.*, 1996, -V. 77, -P. 3855-3868.
- 13. J.-D. Chai, M. Head-Gordon, *Phys. Chem. Chem. Phys.* 2008. -V 10. -P. 6615-6620.
- 14. S. Grimme., *J. Comp. Chem.*, 2006, -V. 27 -P. 1787-1799
- 15. S. Grimme, J. Antony, S. Ehrlich and H. Krieg., *J. Chem. Phys.*, -2010. -V. 132, -P. 154104-154122.
- 16. Т.Н. Гришаева, А.Н. Маслий, *Вестник Казанского технологического университета*. -2012, №12, -C. 7-11.

[©] **А. Н. Маслий** — канд. хим. наук, доц. каф. неорганической химии КНИТУ, masliy@kstu.ru; **Ан. М. Кузнецов** — д-р хим. наук, проф., зав. каф. неорганической химии КНИТУ, am_kuznetsov@kstu.ru.